

§ TEORIA de ESPALHAMENTO

1. A equações de Lippmann-Schwinger

Assumimos que o Hamiltoniano pode ser escrito como:

$$H = H_0 + V \quad (1)$$

com o Hamiltoniano livre

$$H_0 = \frac{p^2}{2m} \quad (2)$$

O potencial V descreve o centro espalhador. Na ausência dele $V \equiv 0$ e os autoestados da energia são nada mais que $|\phi\rangle$, os autoestados da partícula livre.

Para processos de espalhamento elásticos, a energia não muda. Assim estamos interessados em obter soluções da equação de Schrödinger com o Hamiltoniano (1) completa, mas com a mesma energia que a partícula livre.

Seja $|\phi\rangle$ um autoestado do Hamiltoniano livre:

$$\hat{H}_0 |\phi\rangle = E |\phi\rangle \quad (3)$$

Queremos resolver:

$$(\hat{H}_0 + \hat{V}) |\psi\rangle = E |\psi\rangle, \quad (4)$$

sendo que ambos, H_0 e $H = H_0 + V$, apresentam espectro contínuo (estados livres). Procuramos soluções de (4) que para $V \rightarrow 0$, $\Rightarrow |\psi\rangle \rightarrow |\phi\rangle$, com $|\phi\rangle$ soluções de (3) com o mesmo autovalor da energia.

Argumentamos que a solução pode ser escrita como:

$$|\psi\rangle = \frac{1}{E - \hat{H}_0} \hat{V} |\psi\rangle + |\phi\rangle$$

2
(5)

Exploremos esta expressão sem nos preocupar pelo caráter singular de $\frac{1}{E - \hat{H}_0}$. A eq. (4) é satisfeita:

$$(E - \hat{H}_0) |\psi\rangle = \hat{V} |\psi\rangle + \underbrace{(E - \hat{H}_0) |\phi\rangle}_0,$$

pois $|\phi\rangle$ é solução de (3). Também $|\psi\rangle$ se reduz à $|\phi\rangle$ quando $V \rightarrow 0$. Porém devemos agir com prudência para tratar o caráter singular de $\frac{1}{E - \hat{H}_0}$.

O truque usado em teoria de perturbações independente do tempo, de projetar nos espaços complementares não funciona mais aqui, pois o espectro é contínuo. A solução neste caso é remover a singularidade introduzindo uma pequena parte complexa da energia:

$$|\psi^{(\pm)}\rangle = |\phi\rangle + \frac{1}{E - \hat{H}_0 \pm i\epsilon} \hat{V} |\psi^{(\pm)}\rangle \quad (6)$$

Esta equação é conhecida como a EQUAÇÃO DE LIPPMANN-SCHWINGER. Discutiremos posteriormente o significado físico de $|\psi^{(\pm)}\rangle$.

Passando (6) para a representação de coordenadas:

$$\langle \tilde{x} | \psi^{(\pm)} \rangle = \langle \tilde{x} | \phi \rangle + \int d^3x' \langle \tilde{x} | \frac{1}{E - \hat{H}_0 \pm i\epsilon} | \tilde{x}' \rangle \cdot \langle \tilde{x}' | \hat{V} | \psi^{(\pm)} \rangle \quad (6a)$$

obtemos uma equação integral porque o ket $|\psi^{(\pm)}\rangle$ é desconhecido.

Se $|\phi\rangle = |k\rangle$, escrevemos:

$$\langle \tilde{x} | \phi \rangle = \frac{e^{i \frac{k \cdot \tilde{x}}{\hbar}}}{(2\pi\hbar)^{3/2}} \quad (7)$$

A equação de Lippmann-Schwinger na representação de momento fica:

$$\langle k | \psi^{(\pm)} \rangle = \langle k | \phi \rangle + \frac{1}{E - \frac{k^2}{2m} \pm i\epsilon} \langle k | \hat{V} | \psi^{(\pm)} \rangle \quad (8)$$

► Def: Função de Green (núcleo da equação integral (6a))

$$G_{\pm}(\tilde{x}, \tilde{x}') \equiv \frac{\hbar^2}{2m} \left\langle \tilde{x} \left| \frac{1}{E - \hat{H}_0 \pm i\epsilon} \right| \tilde{x}' \right\rangle \quad (9)$$

Escrevendo $E = \frac{\hbar^2 k^2}{2m}$,

$$G_{\pm}(\tilde{x}, \tilde{x}') = \frac{\hbar^2}{2m} \int d^3p' \int d^3p'' \langle \tilde{x} | k' \rangle \langle k' | \frac{1}{E - \frac{p'^2}{2m} \pm i\epsilon} | k'' \rangle \cdot \langle k'' | \tilde{x}' \rangle$$

mas:

$$\left\langle k' \left| \frac{1}{E - \frac{p'^2}{2m} \pm i\epsilon} \right| k'' \right\rangle = \frac{\delta^{(3)}(k' - k'')}{E - \frac{k'^2}{2m} \pm i\epsilon}$$

$$G_{\pm}(x, x') = \frac{\hbar^2}{2m} \int d^3 p' \int d^3 p'' \frac{e^{\frac{i p' \cdot x}{\hbar}}}{(2\pi\hbar)^{3/2}} \cdot \frac{e^{-\frac{i p'' \cdot x'}{\hbar}}}{(2\pi\hbar)^{3/2}}$$

$$\cdot \frac{\delta^{(3)}(p' - p'')}{E - \frac{p'^2}{2m} \pm i\epsilon}$$

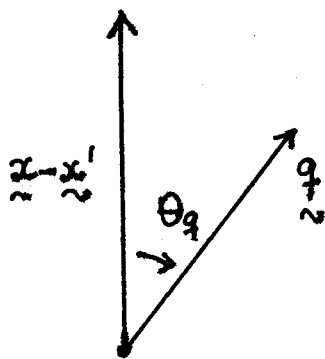
$$= \frac{\hbar^2}{2m} \int \frac{d^3 p'}{(2\pi\hbar)^3} \frac{e^{i p' \cdot (x - x')/\hbar}}{E - \frac{p'^2}{2m} \pm i\epsilon}$$

Para resolver esta integral escrevemos:

$$E = \frac{\hbar^2 k^2}{2m}, \quad p' = \hbar q$$

$$G_{\pm}(x, x') = \frac{\hbar^2}{2m} \frac{1}{(2\pi)^3} \int d^3 q \frac{e^{i q \cdot (x - x')/\hbar}}{k^2 - q^2 \pm i\epsilon} \cdot \frac{2m}{\hbar^2}$$

$$= \frac{1}{(2\pi)^3} \int_0^{\infty} q^2 dq \int_0^{2\pi} d\varphi \int_0^{\pi} \sin\theta q d\theta \frac{\exp(i q |x - x'| \cos\theta)}{k^2 - q^2 \pm i\epsilon}$$



Mudança de variáveis

$$u_q \equiv \cos\theta q$$

$$du_q = -\sin\theta q d\theta$$

$$= \frac{1}{(2\pi)^2} \int_0^{\infty} q^2 dq \int_{-1}^1 du_q \frac{\exp(i q |x - x'| u_q)}{k^2 - q^2 \pm i\epsilon} =$$

$$= \frac{1}{(2\pi)^2} \int_0^{\infty} q^2 dq \frac{1}{k^2 - q^2 \pm i\epsilon} \frac{1}{iq|x-x'|} \left\{ e^{iq|x-x'|} - e^{-iq|x-x'|} \right\}$$

$$= \frac{1}{(2\pi)^2 i |x-x'|} \int_0^{\infty} dq \frac{q}{k^2 - q^2 \pm i\epsilon} \left\{ e^{iq|x-x'|} - e^{-iq|x-x'|} \right\}$$

$$= -\frac{1}{8\pi^2 i |x-x'|} \int_{-\infty}^{\infty} \frac{q dq}{q^2 - k^2 \mp i\epsilon} \left\{ e^{iq|x-x'|} - e^{-iq|x-x'|} \right\}$$

Polos do integrando:

$$q^2 = k^2 \pm i\epsilon = k^2 \left(1 \pm \frac{i\epsilon}{k^2} \right)$$

$$q = \pm k \left(1 \pm \frac{i\epsilon}{k^2} \right)^{1/2}$$

$$q \approx \pm k \left(1 \pm \frac{i\epsilon}{2k^2} \right) = \pm k \pm i\epsilon'$$

$$\exp(iq|x-x'|) = \exp(\pm ik|x-x'|) \exp(\mp \epsilon'|x-x'|)$$

Continuando analiticamente a expressão para o plano complexo, com

$$q = q_1 + iq_2$$

$$\text{I} \quad \exp(iq|x-x'|) = \exp(iq_1|x-x'|) \exp(-q_2|x-x'|)$$

$$\text{II} \quad \exp(-iq|x-x'|) = \exp(-iq_1|x-x'|) \exp(q_2|x-x'|)$$

Convergência da integral para (I) $\Rightarrow q_2 > 0$
 Convergência da integral para (II) $\Rightarrow q_2 < 0$

$$G_{\pm}(x, x') = -\frac{1}{8\pi^2 i |x' - x|} \left\{ \int_{-\infty}^{\infty} \frac{q dq e^{iq|x-x'|}}{q^2 - k^2 \mp i\epsilon} - \int_{-\infty}^{\infty} \frac{q dq e^{-iq|x-x'|}}{q^2 - k^2 \mp i\epsilon} \right\}$$

G_+ tem os polos nos semiplanos superior e inferior:
 $(k + i\epsilon', -k - i\epsilon')$;

G_- tem os polos no semiplano inferior e superior:

$$(k - i\epsilon', -k + i\epsilon').$$

$$G_+(x, x') = -\frac{1}{8\pi^2 i |x - x'|} \left\{ 2\pi i \operatorname{Res}_{k+i\epsilon'} \left(\frac{q e^{iq|x-x'|}}{q^2 - k^2 \mp i\epsilon} \right) \right.$$

$$\left. - 2\pi i \operatorname{Res}_{-k+i\epsilon'} \left(\frac{q e^{-iq|x-x'|}}{q^2 - k^2 \mp i\epsilon} \right) \right\}$$

$$= -\frac{1}{8\pi^2 i |x - x'|} 2\pi i \left\{ \frac{k e^{ik|x-x'|}}{+2k} - \frac{(-k) e^{ik|x-x'|}}{2k} \right\}$$

$$= -\frac{1}{4\pi |x - x'|} e^{ik|x-x'|}$$

Exercício: Mostrar que o resultado geral é

$$G_{\pm}(\underline{x}, \underline{x}') = -\frac{1}{4\pi|\underline{x}-\underline{x}'|} e^{\pm ik|\underline{x}-\underline{x}'|} \quad (10)$$

$G_{\pm}(\underline{x}, \underline{x}')$ pode ser reconhecida como a função de Green da equação de Helmholtz:

$$(\nabla^2 + k^2)G_{\pm}(\underline{x}, \underline{x}') = \delta^{(3)}(\underline{x}-\underline{x}') \quad (11)$$

A equação integral (6a) pode ser reescrita como:

$$\langle \underline{x} | \Psi^{(\pm)} \rangle = \langle \underline{x} | \Phi \rangle - \frac{2m}{\hbar^2} \int d^3x' \frac{e^{\pm ik|\underline{x}-\underline{x}'|}}{4\pi|\underline{x}-\underline{x}'|} \cdot \langle \underline{x}' | \hat{V} | \Psi^{(\pm)} \rangle \quad (12)$$

Nesta expressão $\langle \underline{x} | \Psi^{(\pm)} \rangle = \Psi^{(\pm)}(\underline{x})$ é escrita como a soma da onda plana incidente $\langle \underline{x} | \Phi \rangle$ mais um termo que representa o efeito do espalhamento. Mostraremos posteriormente que se o potencial V é de alcance finito, o segundo termo se comporta assintoticamente como

$$\frac{e^{\pm ikr}}{r},$$

representando ondas esféricas que saem (+) e entram (-) no centro espalhador. Na maioria das aplicações trabalhamos com $\Psi^+(\underline{x})$, que representa uma situação de

fácil reprodução experimental. Para estudar explicitamente o comportamento assintótico das soluções, assumamos que o potencial V é local, e portanto diagonal na representação de coordenadas:

$$\langle \vec{x}' | V(\vec{x}) | \vec{x}'' \rangle = V(\vec{x}') \delta^{(3)}(\vec{x}' - \vec{x}'') .$$

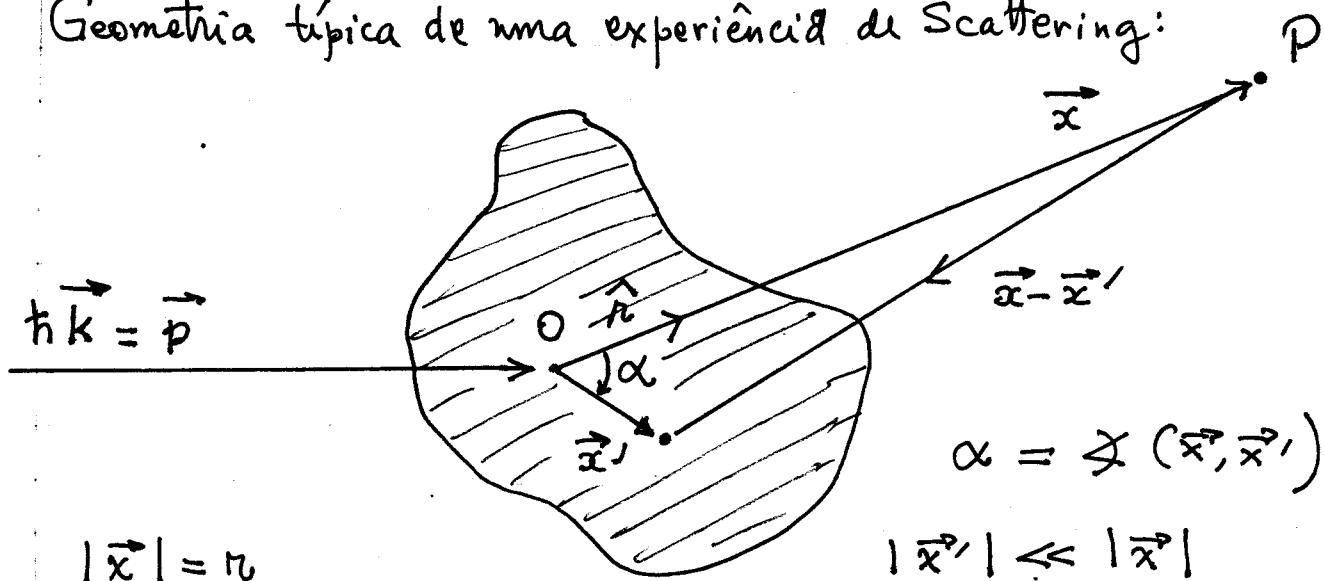
$$\begin{aligned} \langle \vec{x}' | V | \psi^{(\pm)} \rangle &= \int d^3 \vec{x}'' \langle \vec{x}' | V | \vec{x}'' \rangle \psi^{(\pm)}(\vec{x}'') \\ &= V(\vec{x}') \langle \vec{x}' | \psi^{(\pm)} \rangle , \end{aligned}$$

e a equação (12) passa para:

$$\langle \vec{x} | \psi^{(\pm)} \rangle = \langle \vec{x} | \phi \rangle - \frac{2m}{\hbar^2} \int d^3 \vec{x}' \frac{e^{\pm ik|\vec{x} - \vec{x}'|}}{4\pi |\vec{x} - \vec{x}'|} V(\vec{x}')$$

$$\langle \vec{x}' | \psi^{(\pm)} \rangle \quad (13)$$

Geometria típica de uma experiência de Scattering:



$$|\vec{x}| = r$$

$$|\vec{x}'| = r'$$

$$|\vec{x}'| \ll |\vec{x}|$$

P : ponto de observação (detector)

$$|\vec{x} - \vec{x}'| = \sqrt{r^2 + r'^2 - 2rr' \cos \alpha}$$

$$\begin{aligned}
 |\vec{x} - \vec{x}'| &= r \sqrt{1 + \left(\frac{r'}{r}\right)^2 - 2 \frac{r'}{r} \cos \alpha} \\
 &\approx r \left(1 - \frac{r'}{r} \cos \alpha\right) = r - r' \cos \alpha \\
 &= r - \hat{n} \cdot \vec{x}' \\
 \text{com } \hat{n} &\equiv \frac{\vec{x}}{|\vec{x}|} = \frac{\vec{x}}{r}
 \end{aligned}$$

Def

$$\vec{k}' \equiv k \hat{n}$$

Temas :

$$\exp(\pm i k |\vec{x} - \vec{x}'|) \approx \exp(\pm i k r) \exp \mp i (\vec{k}' \cdot \vec{x}')$$

para r grande. Substituindo em (1) obtemos

$$\langle \vec{x} | \Psi^{(\pm)} \rangle = \langle \vec{x} | \phi \rangle - \frac{2m}{\hbar^2} \frac{e^{\pm i k r}}{r} \int d^3 x' \frac{e^{\mp i (\vec{k}' \cdot \vec{x}')}}{4\pi \left(1 - \frac{\hat{n} \cdot \vec{x}'}{r}\right)} V(\vec{x}') \cdot \langle \vec{x}' | \Psi^{(\pm)} \rangle$$

Usamos também a representação $| \vec{k} \rangle$, $\vec{k} = \frac{\hbar \vec{k}}{\hbar}$

$$\langle \vec{k} | \vec{k}' \rangle = \delta^{(3)}(\vec{k} - \vec{k}')$$

$$\langle \vec{x} | \vec{k} \rangle = \frac{\exp(i \vec{k} \cdot \vec{x})}{(2\pi)^{3/2}}$$

O comportamento assintótico é dado por

$$\langle \vec{x} | \Psi^{(\pm)} \rangle \xrightarrow{r \rightarrow \infty} \langle \vec{x} | \vec{k} \rangle - \frac{2m}{\hbar^2} \frac{e^{\pm i k r}}{4\pi r} \int d^3 x' V(\vec{x}') e^{\mp i (\vec{k}' \cdot \vec{x}')} \cdot \langle \vec{x}' | \Psi^{(\pm)} \rangle$$

$$\frac{1}{(2\pi)^{3/2}} \left\{ e^{i(\vec{k} \cdot \vec{x})} + \frac{e^{\pm ikr}}{r} f^{\pm}(\vec{k}', \vec{k}) \right\} \quad (14)$$

com

$$f^{\pm}(\vec{k}', \vec{k}) \equiv - (2\pi)^{3/2} \frac{2m}{4\pi\hbar^2} \int d^3x' V(x') e^{\mp i(\vec{k}' \cdot \vec{x}')} \langle \vec{x}' | \psi^{(\pm)} \rangle$$

$f^{\pm}(\vec{k}', \vec{k})$ é a amplitude da onda esférica (incidente ou emergente): (14')

$$\begin{aligned} f^{\pm}(\vec{k}', \vec{k}) &= - \frac{1}{4\pi} (2\pi)^3 \frac{2m}{\hbar^2} \int d^3x' \frac{e^{\mp i(\vec{k}' \cdot \vec{x}')}}{(2\pi)^{3/2}} V(x') \langle \vec{x}' | \psi^{(\pm)} \rangle \\ &= - \frac{1}{4\pi} (2\pi)^3 \frac{2m}{\hbar^2} \int d^3x' \langle \pm \vec{k}' | \vec{x}' \rangle V(x') \langle \vec{x}' | \psi^{(\pm)} \rangle \end{aligned}$$

$$f^{\pm}(\vec{k}', \vec{k}) = - \frac{1}{4\pi} (2\pi)^3 \frac{2m}{\hbar^2} \langle \pm \vec{k}' | V | \psi^{(\pm)} \rangle \quad (15)$$

e a forma assintótica da função de onda:

$$\langle \vec{x} | \psi^{(\pm)} \rangle \xrightarrow{r \rightarrow \infty} \frac{1}{(2\pi)^{3/2}} \left\{ e^{i\vec{k} \cdot \vec{x}} + \frac{e^{\pm ikr}}{r} f^{\pm}(\vec{k}', \vec{k}) \right\} \quad (16)$$

► Def. Seção eficaz diferencial

Seja N o fluxo de partículas incidentes, isto é número de partículas atravessando uma área unitária normal ao fluxo, por unidade de tempo.

Seja dN o número de partículas espalhada por unidade de tempo no elemento de ângulo sólido $d\Omega$, descrito pelas coordenadas polares (θ, φ) . Esperamos que dN seja proporcional ao fluxo incidente e ao tamanho do ângulo sólido. Escrevemos:

$$dN = \sigma(\theta, \varphi) N d\Omega \tag{1a}$$

ou

$$\sigma(\theta, \varphi) d\Omega = \frac{dN}{N} \tag{1b}$$

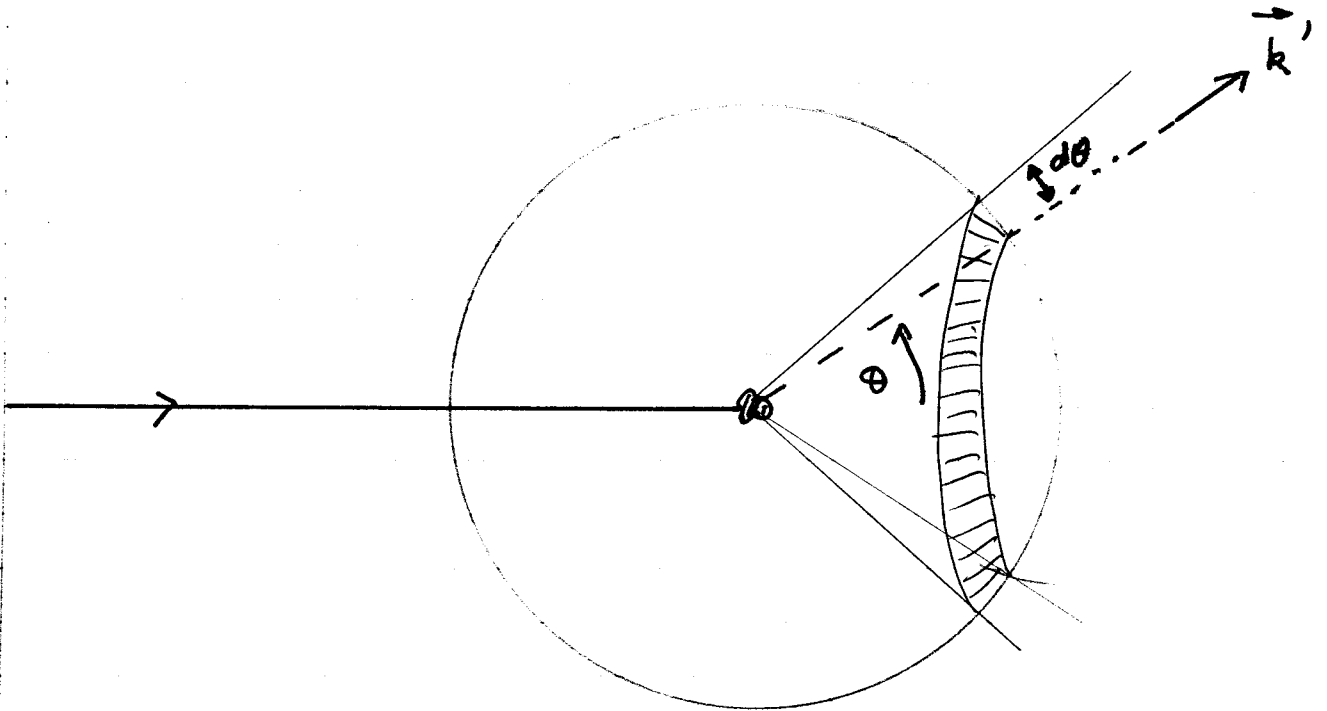
onde a constante de proporcionalidade $\sigma(\theta, \varphi)$ tem dimensão de área.

$\sigma(\theta, \varphi)$: SEÇÃO EFICAZ DIFERENCIAL de ESPALHAMENTO

Integrando (1a) sobre o ângulo sólido total deve fornecer o fluxo total de partículas espalhadas pelo centro. Isso define a SEÇÃO TOTAL de ESPALHAMENTO

$$N_{Exp} = \int_{4\pi} dN = \int_{4\pi} \sigma(\theta, \varphi) N d\Omega = N \int_{4\pi} \sigma(\theta, \varphi) d\Omega$$

$$\sigma_T \equiv \int_{4\pi} \sigma(\theta, \varphi) d\Omega$$



Como calcular a seção eficaz de espalhamento no nosso caso?

Comportamento assintótico da função de onda dado por:

$$\langle x | \psi^+ \rangle \xrightarrow{r \rightarrow \infty} \frac{1}{(2\pi)^{3/2}} \left\{ e^{i\vec{k} \cdot \vec{x}} + \frac{e^{ikr}}{r} f^+(\vec{k}', \vec{k}) \right\}$$

$\psi = \frac{e^{ikr}}{r} f^+(\vec{k}', \vec{k})$ representa a onda espalhada longe do centro espalhador. O fluxo de partículas espalhadas pode ser computado de

$$\vec{J} = -\frac{i\hbar}{2m} \left[\psi^* \nabla \psi - (\nabla \psi^*) \psi \right]$$

$$\vec{J} = \frac{\hbar k}{m} \frac{|f(\theta, \varphi)|^2}{r^2} \hat{r} - \frac{ik}{mr^3} \operatorname{Im} \left[f^*(\theta, \varphi) \frac{\partial f}{\partial \theta} \right] \hat{\theta} - \frac{ik}{mr^3 \sin \theta} \operatorname{Im} \left[f^*(\theta, \varphi) \frac{\partial f}{\partial \varphi} \right] \hat{\varphi},$$

onde $(\hat{r}, \hat{\theta}, \hat{\varphi})$ são vetores unitários na direção de crescimento das coordenadas polares (r, θ, φ) . No limite assintótico, $r \rightarrow \infty$, e só ficamos com a parte radial:

$$\vec{J} \underset{r \rightarrow \infty}{\approx} \frac{\hbar k}{m} \frac{|f(\theta, \varphi)|^2}{r^2} \hat{r}$$

Temos também

$$d\Omega = \frac{dA}{r^2},$$

onde dA é a correspondente área associada ao ângulo sólido $d\Omega$ a distância r . Assim obtenho o fluxo na direção de $d\Omega$ como

$$\begin{aligned} \vec{J} \cdot d\vec{A} &= \frac{\hbar k}{m} \frac{|f(\theta, \varphi)|^2}{r^2} r^2 d\Omega \\ &= \frac{\hbar k}{m} |f(\theta, \varphi)|^2 d\Omega \end{aligned}$$

Devemos calcular também o fluxo incidente com

$$\psi = e^{ikz}$$

$$\vec{J}_i = \frac{\hbar k}{m} \hat{z}$$

$$\sigma(\theta, \varphi) d\Omega = \frac{r^2 |\underline{J}_e|}{|\underline{J}_i|} = |f(\theta, \varphi)|^2 d\Omega$$

Resultado importante :

$$\sigma(\theta, \varphi) = |f(\theta, \varphi)|^2 = |f(\underline{k}', \underline{k})|^2 \quad (2)$$

§ 1ª Aproximações de Born

A equação de Lippman-Schwinger pode ser resolvida de maneira iterativa, como em Teoria de perturbações, e a amplitude $f(\underline{k}', \underline{k})$ pode ser correspondentemente calculada. Se o efeito do centro espalhador não é muito forte, esperamos que a série converja, e os termos dominantes serão de baixa ordem. Em primeira ordem podemos considerar que

$$\langle \underline{x}' | \psi^{(+)} \rangle \text{ não é muito diferente de } \langle \underline{x}' | \phi \rangle,$$

o pacote incidente. Substituímos então:

$$\langle \underline{x}' | \psi^{(+)} \rangle \longrightarrow \langle \underline{x}' | \phi \rangle = \frac{e^{i\underline{k} \cdot \underline{x}'}}{(2\pi)^{3/2}}$$

e obtemos uma expressão aproximada de $f(\underline{k}', \underline{k})$:

$$\begin{aligned} f^{(1)}(\underline{k}', \underline{k}) &= - (2\pi)^{3/2} \frac{2m}{4\pi\hbar^2} \int d\underline{x}' V(\underline{x}') e^{-i(\underline{k}' \cdot \underline{x}')} \frac{e^{i\underline{k} \cdot \underline{x}'}}{(2\pi)^{3/2}} \\ &= - \frac{1}{4\pi} \frac{2m}{\hbar^2} \int d\underline{x}' V(\underline{x}') e^{i(\underline{k} - \underline{k}') \cdot \underline{x}'} \end{aligned}$$

Aparte de fatores constantes, $f^{(1)}(\underline{k}', \underline{k})$ é essencialmente a Transformada de Fourier do potencial $V(\underline{x}')$. Esta aproximação é chamada de 1ª APROXIMAÇÃO de BORN (comparar com teoria de perturbações em 1ª ordem). Assumindo que o potencial é esféricamente simétrico:

$$V(\underline{x}') = V(r) \quad , \quad r = |\underline{x}'|$$

$$(\underline{k} - \underline{k}') \cdot \underline{x}' = r |\underline{k} - \underline{k}'| \cos \theta$$

$$\begin{aligned} f^{(1)}(\underline{k}', \underline{k}) &= -\frac{1}{4\pi} \frac{2m}{\hbar^2} \int_0^\infty r^2 dr \int_0^{2\pi} d\varphi \int_0^\pi \sin \theta d\theta e^{i r |\underline{k} - \underline{k}'| \cos \theta} \\ &= -\frac{1}{2} \cdot \frac{2m}{\hbar^2} \int_0^\infty dr r^2 V(r) \frac{1}{i r |\underline{k} - \underline{k}'|} \left(e^{i |\underline{k} - \underline{k}'| r} - e^{-i |\underline{k} - \underline{k}'| r} \right) \\ &= -\frac{2m}{\hbar^2} \frac{1}{|\underline{k} - \underline{k}'|} \int_0^\infty dr r V(r) \operatorname{sen}(|\underline{k} - \underline{k}'| r) \end{aligned}$$

$$f^{(1)}(\underline{k}', \underline{k}) = -\frac{2m}{\hbar^2 |\underline{k} - \underline{k}'|} \int_0^\infty dr r V(r) \operatorname{sen}(|\underline{k} - \underline{k}'| r)$$

Assim o potencial $V(r)$ deve cair suficientemente rápido em $r \rightarrow \infty$, para que a integral converja (3)

► Exemplo. Potencial de Yukawa:

$$V(r) = V_0 \frac{e^{-\mu r}}{\mu r}$$

$\frac{1}{\mu}$: alcance do potencial

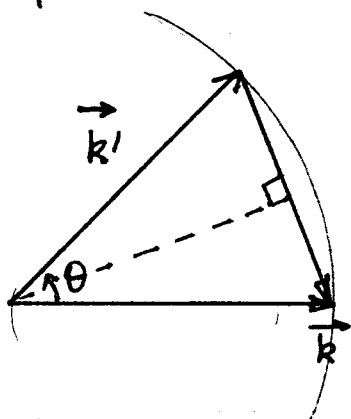
$V(r) \rightarrow 0$ para $r \gg \frac{1}{\mu}$. Calculamos $f^{(1)}(\vec{k}', \vec{k})$:

$$f^{(1)}(\vec{k}', \vec{k}) = - \frac{2m V_0}{\hbar^2 |\vec{k} - \vec{k}'| \mu} \int_0^{\infty} dr \frac{e^{-\mu r}}{r} \sin(|\vec{k}' - \vec{k}| r)$$

$$= - \frac{2m V_0}{\hbar^2 \mu |\vec{k} - \vec{k}'|} \cdot \frac{|\vec{k} - \vec{k}'|}{|\vec{k} - \vec{k}'|^2 + \mu^2} = - \frac{2m (V_0/\mu)}{\hbar^2} \frac{1}{(\vec{k} - \vec{k}')^2 + \mu^2}$$

Definindo:

$$\vec{q} \equiv \vec{k} - \vec{k}'$$



$$\frac{q^2}{4} = k^2 \sin^2 \frac{\theta}{2}$$

$$\text{ou } q^2 = 4k^2 \sin^2 \frac{\theta}{2} \\ = 2k^2 (1 - \cos \theta)$$

Portanto:

$$f^{(1)}(\vec{k}', \vec{k}) = - \frac{2m}{\hbar^2} \left(\frac{V_0}{\mu} \right) \cdot \frac{1}{2k^2 (1 - \cos \theta) + \mu^2}$$

e a expressão diferencial de espalhamento fica, dentro da 1ª aproximação de Born:

$$\begin{aligned}\sigma(\theta, \varphi) &= \left(\frac{2mV_0}{\hbar^2 \mu} \right)^2 \frac{1}{[2k^2(1-\cos\theta) + \mu^2]^2} \\ &= \left(\frac{2mV_0}{\hbar^2 \mu} \right)^2 \frac{1}{[4k^2 \sin^2 \frac{\theta}{2} + \mu^2]^2}\end{aligned}$$

Como caso importante temos o limite $\mu \rightarrow 0$, onde o potencial de Yukawa se reduz ao potencial de Coulomb, sempre que a razão (V_0/μ) se mantenha finita:

$$\mu \rightarrow 0, \quad \frac{V_0}{\mu} \rightarrow ZZ'e^2$$

Z : número atômico do núcleo

Z' : número atômico da partícula incidente.

Neste caso a seção eficaz diferencial é

$$\sigma(\theta, \varphi) = \frac{(2m)^2 (ZZ'e^2)^2}{\hbar^4} \cdot \frac{1}{16k^4 \sin^4 \frac{\theta}{2}}, \quad (4)$$

que é a conhecida fórmula de Rutherford para a seção eficaz de espalhamento calculada CLASSICAMENTE (!)

§ VALIDADE da APROXIMAÇÃO de BORN

Voltando para a expressão (3) de $f(\mathbf{k}', \mathbf{k})$ para um potencial central, podemos observar:

i) $\sigma(\theta, \varphi)$ ou $f(\theta)$ é função de $\vec{q} = \vec{k} - \vec{k}'$ somente,
 $\Rightarrow f(\theta)$ depende da energia $E = \frac{\hbar^2 k^2}{2m}$ e do ângulo θ
 somente através da combinação $2k^2(1 - \cos\theta)$;

ii) $f(\theta)$ é sempre real;

iii) $\sigma(\theta) = |f(\theta)|^2$ independe do sinal de $V(r)$;

iv) para $|\vec{q}| = |\vec{k} - \vec{k}'|$ pequeno aproximamos $f^{(1)}$ por

$$f^{(1)}(\theta) = -\frac{2m}{\hbar^2} \int_0^\infty dr r^2 V(r) = -\frac{1}{4\pi} \frac{2m}{\hbar^2} \int d^3\tilde{x} V(r)$$

é independente de θ ;

v) para $|\vec{q}|$ grande, $f^{(1)}(\theta)$ é pequena devido à oscilações rápidas do integrando.

Na 1ª aproximação de Born, temos substituído $\langle \tilde{x}' | \psi^{(+)} \rangle$ por $\langle \tilde{x}' | \phi \rangle$. Portanto para a aproximação ser válida, a distorção da onda incidente deve ser pequena (ver fórmula (13)):

$$\left| \frac{2m}{\hbar^2} \frac{1}{4\pi} \int d^3\tilde{x}' \frac{e^{ik|\tilde{x}-\tilde{x}'|}}{|\tilde{x}-\tilde{x}'|} V(\tilde{x}') \right| \ll 1$$

e chamando $r' \equiv |\tilde{x}-\tilde{x}'|$:

$$\boxed{\left| \frac{2m}{4\pi\hbar^2} \int d^3\tilde{x}' \frac{e^{ikr'}}{r'} V(\tilde{x}') \right| \ll 1, \quad (5)}$$

(5) é a condição da validade da 1ª aproximação de Born.

Voltando ao exemplo do potencial de Yukawa, temos que a condição (5) fica:

$$\frac{m}{2\pi\hbar^2} \cdot 4\pi \int_0^\infty r^2 dr \frac{e^{ikr'}}{r'} \frac{V_0 e^{-\mu r}}{\mu r}$$

$$= \frac{2m V_0}{\hbar^2 \mu} \int_0^\infty dr \left(\frac{r}{r'}\right) e^{-\mu r} e^{ikr'},$$

e para baixas energias $kr' \ll 1$, $e^{ikr'} \rightarrow 1$, e $(r/r') \rightarrow 1$, resultando:

$$\left| \frac{2m V_0}{\hbar^2 \mu^2} \right| \ll 1.$$

Esta condição deve ser comparada com aquela, para que o potencial de Yukawa desenvolva um estado ligado:

$$\frac{2m}{\hbar^2} \frac{|V_0|}{\mu^2} \geq 2,7, \text{ com } V_0 < 0.$$

Significa que se o potencial é suficientemente forte para desenvolver um estado ligado, provaivelmente a 1ª aproximação de Born fornecerá um resultado errado.

§ A APROXIMAÇÃO DE BORN NAS ORDENS MAIS ALTAS

► Def. Definimos um operador de Transição \hat{T} por:

$$\hat{T}|\phi\rangle \equiv V|\psi^{(+)}\rangle \quad (6)$$

Multiplicamos a eq. de Lippmann-Schwinger por \hat{V} : 20

$$\hat{V}|\psi^{(+)}\rangle = \hat{V}|\phi\rangle + \hat{V} \frac{1}{E - \hat{H}_0 + i\epsilon} T|\phi\rangle$$

$$= \hat{T}|\phi\rangle,$$

Como esta equação é válida para todo $|\phi\rangle$ obtemos a identidade:

$$\boxed{\hat{T} = \hat{V} + \hat{V} \frac{1}{E - \hat{H}_0 + i\epsilon} \hat{T}} \quad (7)$$

A amplitude de espalhamento pode agora ser escrita como

$$f^{(+)}(\underline{k}', \underline{k}) = -\frac{1}{4\pi} (2\pi)^3 \frac{2m}{\hbar^2} \langle \underline{k}' | \hat{T} | \phi \rangle$$

$$\boxed{f^{(+)}(\underline{k}', \underline{k}) = -\frac{1}{4\pi} (2\pi)^3 \frac{2m}{\hbar^2} \langle \underline{k}' | \hat{T} | \underline{k} \rangle} \quad (8)$$

Obtemos soluções iterativas de \hat{T} como:

$$\hat{T} = \hat{V} + \hat{V} \frac{1}{E - \hat{H}_0 + i\epsilon} \hat{V} + \hat{V} \frac{1}{E - \hat{H}_0 + i\epsilon} \hat{V} \frac{1}{E - \hat{H}_0 + i\epsilon} \hat{V} + \dots$$

Notar a semelhança com o núcleo resolvente da teoria de perturbações. A amplitude de espalhamento é conver-

pondentemente expandida:

$$f^{(+)}(\vec{k}', \vec{k}) = \sum_{n=1}^{\infty} f^{(n)}(\vec{k}', \vec{k}),$$

onde n é o número de vezes que aparece o potencial \hat{V} .
Assim temos:

$$f^{(1)}(\vec{k}', \vec{k}) = -\frac{1}{4\pi} (2\pi)^3 \frac{2m}{\hbar^2} \langle \vec{k}' | \hat{V} | \vec{k} \rangle \quad \text{1.ª Aproximação de Born}$$

$$f^{(2)}(\vec{k}', \vec{k}) = -\frac{1}{4\pi} (2\pi)^3 \frac{2m}{\hbar^2} \langle \vec{k}' | \hat{V} \frac{1}{E - \hat{H}_0 + i\epsilon} \hat{V} | \vec{k} \rangle, \quad \text{2.ª Aprox. de Born}$$

Escrevemos $f^{(2)}$ na representação de coordenadas:

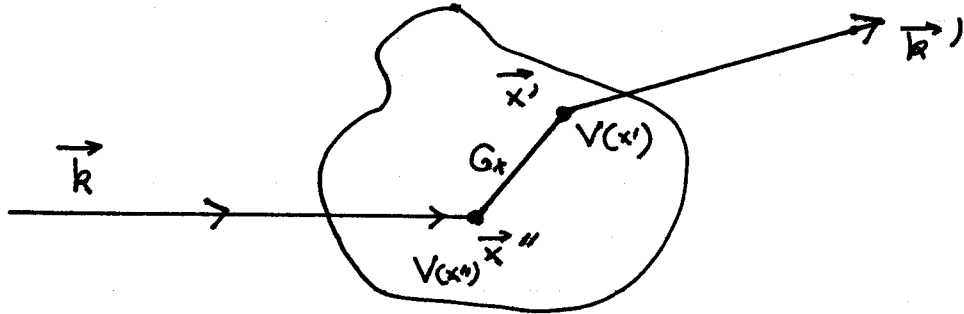
$$f^{(2)}(\vec{k}', \vec{k}) = -\frac{1}{4\pi} (2\pi)^3 \frac{2m}{\hbar^2} \int d^3x' \int d^3x'' \langle \vec{k}' | \vec{x}' \rangle \langle \vec{x}' | V \frac{1}{E - \hat{H}_0 + i\epsilon} V | \vec{x}'' \rangle \langle \vec{x}'' | \vec{k} \rangle$$

$$= -\frac{1}{4\pi} (2\pi)^3 \frac{2m}{\hbar^2} \int d^3x' \int d^3x'' \langle \vec{k}' | \vec{x}' \rangle V(\vec{x}') \left\langle \vec{x}' \left| \frac{1}{E - \hat{H}_0 + i\epsilon} \right| \vec{x}'' \right\rangle V(\vec{x}'') \langle \vec{x}'' | \vec{k} \rangle$$

$$= -\frac{1}{4\pi} \frac{2m}{\hbar^2} \int d^3x' \int d^3x'' e^{-i\vec{k}' \cdot \vec{x}'} V(\vec{x}') \frac{2m}{\hbar^2} G_+(x', x'') V(x'') e^{i\vec{k} \cdot \vec{x}''}$$

$$f^{(2)}(\vec{k}', \vec{k}) = -\frac{1}{4\pi} \left(\frac{2m}{\hbar^2} \right) \int d^3x' \int d^3x'' e^{-i\vec{k}' \cdot \vec{x}'} V(\vec{x}') \left[\frac{2m}{\hbar^2} G_+(\vec{x}', \vec{x}'') \right] V(\vec{x}'') e^{i\vec{k} \cdot \vec{x}''}$$

Interpretação diagramática de $f^{(2)}$:



§ OS ESTADOS LIVRES COMO CASO PARTICULAR DE UM POTENCIAL CENTRAL

Partículas livres também têm o momentum angular bem definido, pois a energia cinética comuta com o operador de momentum angular. Neste caso podemos escolher como operadores compatíveis

$$(\hat{H}_0, \hat{L}^2, L_z).$$

Sem considerar o spin das partículas, os kets que diagonalizam os operadores acima são escritos como

$$\{|E, l, m\rangle\},$$

e são chamados estados de ondas esféricas. O estado mais geral de uma partícula livre pode ser considerado como uma combinação linear de $|E, l, m\rangle$. Esta base joga o mesmo papel que, por exemplo $\{|\vec{k}\rangle\}$, que diagonaliza o momentum linear. Em particular, um ket $|\vec{k}\rangle$ pode ser desenvolvido na base das ondas